

## ЕКСПЕРИМЕНТАЛЬНІ ДОСЛІДЖЕННЯ ТЕПЛОВИХ І ГІДРОДИНАМІЧНИХ ХАРАКТЕРИСТИК ТЕПЛОМАСО- ОБМІННИКІВ ЗМІШУВАЛЬНОГО ТИПУ (ТМЗД)

### Гідравлічні дослідження

У Київському національному університеті будівництва і архітектури були запропоновані контактні пароводяні теплообмінники, що базуються на взаємодії пристінного відцентрованого струменя води з радіальним диспергованими струменями пари [1]. Проведені постановочні дослідження при внутрішньому діаметрі корпусу  $d = 32$  мм та діапазоні тисків пари 9+40 кПа, води – 18+50 кПа; температурі води 1,4+15 °С, принципово підтвердили можливість досягнення в апаратах такого типу коефіцієнтів тепловіддачі від пари до води до  $(70+100) \cdot 10^4$  Вт/(м<sup>2</sup>·К). Проте недостатній обсяг і діапазон досліджень не дав можливості отримати узагальнюючі залежності для визначення гідродинамічних і теплотехнічних характеристик таких теплообмінників та перевірити їх працездатність при інших теплоносіях, наприклад в системі вода – вода. Для виконання комплексу досліджень було розроблено і змонтовано експериментальний стенд, наведений на рис. 1.

Дослідження виконані в діапазоні тисків води, що гріється, – 10+300 кПа, пари та води, що гріє, – 8+200 кПа; швидкостях води на виході з сопла – 2+30 м/с; температури холодної води – 5+70 °С; діаметрах корпусів – 32+150 мм; діаметрів перфорованого насадку – 20+100 мм; діаметрів перфораційних отворів – 2+3 мм.

В даному повідомленні наведені результати обробки експериментальних даних по гідравлічному опору ТМЗД.

Результати теплотехнічних досліджень будуть наведені в наступному повідомленні.

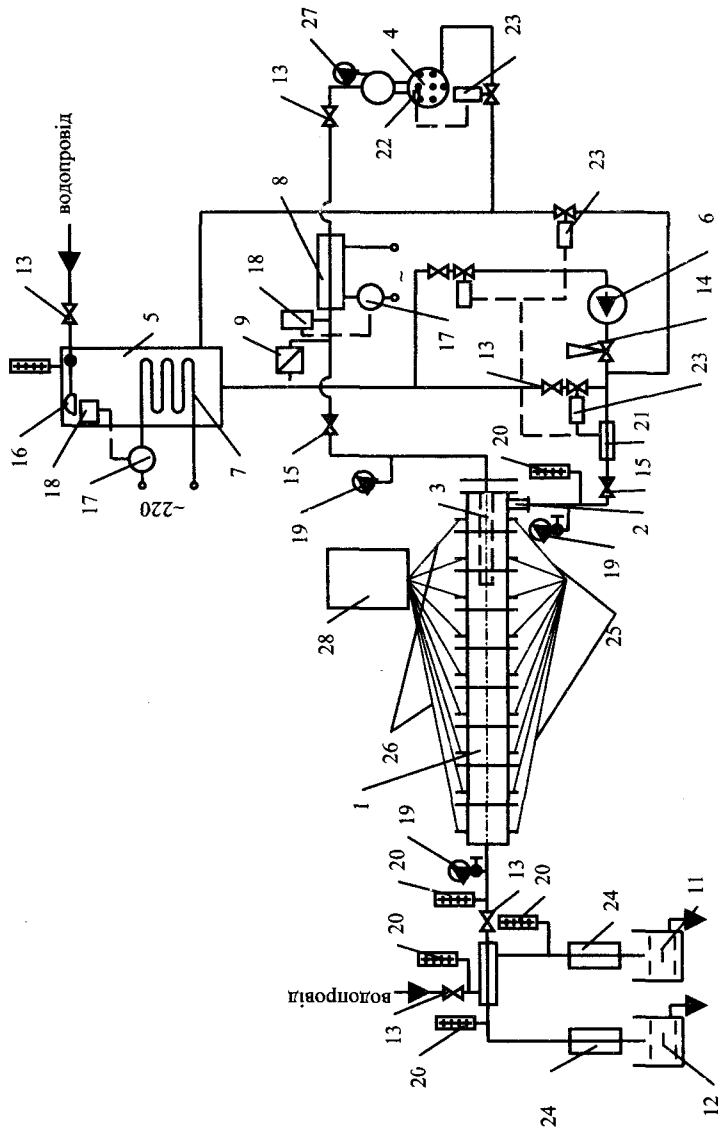


Рис. 1. Схема експериментального підводу води.

1. Дослідний теплообмінник. 2. Патрубок тангенційного підводу води. 3. Насадок для дисперсної пари. 4. Електричний нагрівач для попередньої підготовки водопровідної води. 5. Бак для дисперсної пари. 6. Патрубок тангенційного підводу води. 7. Електричний нагрівач для попередньої підготовки водопровідної води. 8. Теплообмінник для випаровування крапельної вологи з пари. 9. Прилад для визначення ступеню сухості пари. 10. Теплообмінник для охолодження сконденсованої пари. 11. Мірний бак для охолоджуваної води. 12. Мірний бак для охолоджуваної пари. 13. Шарові крани. 14. Регулятор тиску води, що подається на теплообмінник. 15. Зворотні клапани. 16. Шаровий клапан з поплавком. 17. Терісторний перетворювач напруги. 18. Датчик температури. 19. Манометр. 20. Термометри. 21. Датчик витрат води. 22. Датчик рівня води у котлі. 23. Регульовані клапани. 24. Водоміри. 25. Термопарні. 26. Датчики тиску. 27. Електроконтактний манометр. 28. Диференціальний манометр.

Гідравлічна схема ТМЗД наведена на рис. 2.

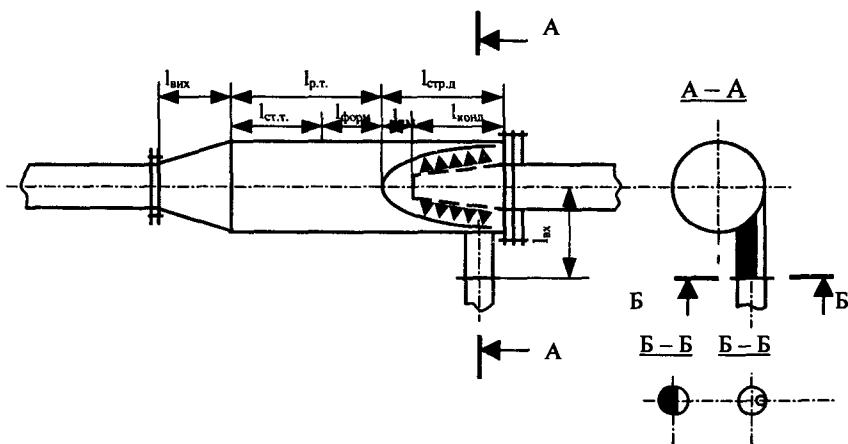


Рис. 2. Гідравлічна схема ТМЗД

Гідравлічний опір ТМЗД складається з таких величин:

$$\Delta P = \Delta P_{\text{вх}} + \Delta P_{\text{стр.д}} + \Delta P_{\text{р.т}} + \Delta P_{\text{вих}},$$

де  $\Delta P_{\text{вх}}$  – гідравлічний опір на вході у тепломасообмінник;  $\Delta P_{\text{стр.д}}$  – гідравлічний опір ділянці відцентрованої струменевої течії води;  $\Delta P_{\text{р.т}}$  – гідравлічний опір ділянці розвиненої течії води у тепломасообміннику;  $\Delta P_{\text{вих}}$  – гідравлічний опір виходу з тепломасообмінника.

$$\Delta P_{\text{вх}} = a \left( \frac{d_1}{d_{\text{вх}}} \right)^n \bar{w}_{\text{вх}}^2,$$

де  $a$  – коефіцієнт,  $\text{Н} \cdot \text{с}^2 / \text{м}^4$ ;  $d_1$  – внутрішній діаметр трубопроводу, що підводить воду, м;  $d_{\text{вх}}$  – гідравлічний діаметр вхідного отвору (сопла), м;  $\bar{w}_{\text{вх}}$  – середня швидкість води у вхідному отворі, м/с.

Значення коефіцієнта  $a$  та показника ступеню  $n$  при різних конструкціях вхідного патрубку наведені в табл. 1.

Найменування величини \ Конструкція вхідного патрубка	1	2	3
Коефіцієнт $a, \text{H}\cdot\text{с}^2/\text{м}^4$	131,6	142,0	156,0
Показник ступеню $n$	1,05	0,33	0,25

$$\Delta P_{\text{вих}} = b \left( \frac{d_{\text{к}}}{d_{\text{вих}}} \right)^m w_{\text{вих}}^2,$$

де  $b$  – коефіцієнт,  $\text{H}\cdot\text{с}^2/\text{м}^4$ ;  $d_{\text{к}}$  – внутрішній діаметр корпусу ТМЗД, м;  $d_{\text{вих}}$  – діаметр вихідного патрубку, м;  $w_{\text{вих}}$  – швидкість води у вихідному отворі, м/с.

Значення коефіцієнта  $b$  та показника ступеню  $m$  при різних кутах конфузора на виході з ТМЗД наведені в табл. 2.

Таблиця 2

Найменування величини \ Кут конфузора $\alpha, ^\circ$	$\leq 7,5$	$\leq 15$	$\leq 30$
Коефіцієнт $b, \text{H}\cdot\text{с}^2/\text{м}^4$	158,0	162,0	185,0
Показник ступеню $m$	0,10	0,15	0,25

$\Delta P_{\text{р.т}}$ , згідно з [2] становить

$$\Delta P_{\text{р.т}} = \frac{4 \cdot 0,0395 \cdot \rho \cdot \bar{w}_{\text{р.т}}^2}{\text{Re}^{0,25}} \cdot l_{\text{р.т}},$$

де  $\rho$  – густина води,  $\text{кг}/\text{м}^3$ ;  $\bar{w}_{\text{р.т}}$  – середня швидкість води на ділянці розвиненої течії, м/с;  $l_{\text{р.т}}$  – довжина ділянки розвиненої течії, м;

$\text{Re} = \frac{\bar{w}_{\text{р.т}} d_{\text{к}}}{\nu}$  – число Рейнольдса;  $d_{\text{к}}$  – діаметр корпусу, м;  $\nu$  – коефіцієнт кінематичної в'язкості,  $\text{м}^2/\text{с}$ .

$$\Delta P_{\text{стр.д}} = a_1 c_f \rho \frac{\bar{w}_{\text{к}}^2}{2} f_{\text{к}},$$

де  $c_f$  – коефіцієнт повного тертя струмینی з поверхнею. Згідно з [3]

$$c_f = 0,427(\lg \text{Re}_{\text{вх}} - 0,407)^{-2,64};$$

$\bar{w}$  – середня швидкість струмینی, м/с

$$\bar{w} = \frac{\bar{w}_{\text{вх}} + \bar{w}_{\text{р.т}}}{2};$$

$f_k$  – поверхня контакту струмینی з внутрішньою поверхнею корпусу, м<sup>2</sup>

$$f_k = \pi d_k l_{\text{стр.д}};$$

$l_{\text{стр.д}}$  – довжина ділянки струменевої течії;  $a_1$  – коефіцієнт, який враховує додатковий опір на поверхні контакту струмینی з гріючим диспергованим теплоносієм

$$a_1 = 1 + \frac{1}{(P_{\text{вх}} - P_{\text{гр}})^{0,1} \cdot \bar{w}_{\text{вх}}^{0,5}} \cdot \left( \frac{m_{\text{гр}}}{m_{\text{в}}} \right)^{0,2};$$

$P_{\text{вх}}$  – тиск води на вході, Па;  $P_{\text{гр}}$  – тиск гріючого енергоносія на поверхні контакту зі струминою, Па;  $m_{\text{гр}}$ ,  $m_{\text{в}}$  – маса гріючого енергоносія та води відповідно, кг.

Згідно з даними [4] кут розкриття струменю  $\alpha = \arctg 0,149 = 8,5^\circ$ .

Звідси довжина струменю

$$l_{\text{стр}} = \frac{\frac{d_k}{2} - d_{\text{вх}}}{\text{tg}\alpha} = \frac{\frac{d_k}{2} - d_{\text{вх}}}{0,149}, \text{ м.}$$

Але з іншого боку

$$l_{\text{стр}} = \pi d_k n,$$

де  $n$  – кількість витків струменю.

Тоді довжина струменевої ділянки визначиться за залежністю:

$$\begin{aligned} l_{\text{стр.д}} = n \bar{d}_{\text{стр}} &= n \cdot \frac{\frac{d_k}{2} + d_{\text{вх}}}{2} = \frac{l_{\text{стр}}}{\pi d_k} \cdot \frac{\frac{d_k}{2} + d_{\text{вх}}}{2} = \\ &= \frac{\frac{d_k}{2} - d_{\text{вх}}}{0,149 \pi d_k} \cdot \frac{\frac{d_k}{2} + d_{\text{вх}}}{2} = \frac{d_k^2 - d_{\text{вх}}^2}{0,298 \pi d_k}, \text{ м.} \end{aligned}$$

## Використана література

1. *Малкін Е. С., Солодка Н. В.* Рациональное теплоснабжение промышленных предприятий. – К.: “Вісник інженерної академії України”. – 1999. № 1. – С. 15–20.
2. *Михеев М. А., Михеева И. М.* Основы теплопередачи. – М.: Энергия. – 1973. – 319 с.
3. *Повх И. Л.* Техническая гидромеханика. – М.–Л.: Машиностроение. – 1964. – 55 с.
4. *Бахарев В. А.* К теории и расчету свободных турбулентных струй. – Л.: Сборник трудов ВНИИ охраны труда в г. Ленинграде. – 1965. – С. 12–26.